

# Критические числа Рейнольдса в сверхзвуковом течении Куэтта колебательно-возбуждённого двухатомного газа\*

Ю. Н. ГРИГОРЬЕВ<sup>1</sup>, И. В. ЕРШОВ<sup>2</sup>

<sup>1</sup>Институт вычислительных технологий СО РАН, Новосибирск, Россия

<sup>2</sup>Новосибирский государственный архитектурно-строительный университет,  
Россия

e-mail: grigor@ict.nsc.ru, i\_ershov@ngs.ru

**Григорьев Ю.Н., Ершов И.В.** Критические числа Рейнольдса в сверхзвуковом течении Куэтта колебательно-возбуждённого двухатомного газа // Вычисл. технологии. 2014. Т. 19, № 2. С. 20–32.

В рамках нелинейной энергетической теории гидродинамической устойчивости исследовано сверхзвуковое плоское течение Куэтта колебательно-возбуждённого двухатомного газа. Соответствующая спектральная задача для критических значений числа Рейнольдса  $Re_{cr}$ , определяющих возможное начало ламинарно-турбулентного перехода, решалась численно с помощью метода коллокаций и QZ-алгоритма. Показано, что в сверхзвуковом диапазоне рассчитанные значения  $Re_{cr}$  могут в пределах двух порядков превышать аналогичные значения для дозвуковых чисел Маха.

*Ключевые слова:* энергетическая теория, гидродинамическая устойчивость, колебательная релаксация, уравнения двухтемпературной газовой динамики, критическое число Рейнольдса, метод коллокаций, QZ-алгоритм.

**Grigoryev Yu.N., Ershov I.V.** Critical Reynolds numbers in supersonic Couette flow of vibration excited diatomic gas // Comput. Technologies. 2014. Vol. 19, No. 2. P. 20–32.

Supersonic 2D-Couette flow of vibration excited diatomic gas was investigated in the framework of nonlinear energy theory for hydrodynamic stability. The corresponding spectral problem for critical Reynolds numbers  $Re_{cr}$  defining possible origin of laminar-turbulent transit was calculated using collocation method and QZ-algorithm. It was shown that in supersonic range of the calculated values of  $Re_{cr}$  may be within two orders of magnitude higher than similar values for subsonic Mach numbers.

*Key words:* energy theory, hydrodynamic stability, two-temperature gas dynamics equations, critical Reynolds number, collocation method, QZ-algorithm.

## Введение

В работе [1] на основе нелинейной энергетической теории исследовалась устойчивость дозвукового плоского течения Куэтта колебательно неравновесного молекулярного газа. Выполненное обобщение теории позволило в реальном для двухатомных газов диа-

---

\*Работа выполнена при финансовой поддержке РФФИ (грант № 11-01-00064).

пазоне параметров режима получить значения критических чисел Рейнольдса  $Re_{cr}$ . При этом найденные значения  $Re_{cr}$  по порядку величины совпадали с результатами, полученными в аналогичной постановке для несжимаемого течения [2]. Это подтвердило известное представление о том, что дозвуковое течение Куэтта можно считать практически несжимаемым. Вместе с тем немногочисленные исследования [3–5], выполненные в постановке классической линейной теории, показывают, что в рамках данного подхода вопрос гидродинамической устойчивости течения Куэтта сжимаемого совершенного газа до последнего времени не имеет однозначного решения. В частности, в работе [3] констатированы абсолютное стабилизирующее влияние вязкости и отсутствие неустойчивости вплоть до чисел  $Re = 5 \cdot 10^6$  при сверхзвуковых числах Маха  $M = 2 \div 5$ . В то же время в более поздних публикациях [4, 5] были рассчитаны критические числа Рейнольдса в пределах  $Re_{cr} \simeq (2 \div 5) \cdot 10^4$  при числах  $M = 3 \div 12$ .

Таким образом, исходя из результатов численных расчётов [3–5] имеет место следующая ситуация. В рамках линейной теории устойчивости течение Куэтта совершенного газа устойчиво в ближней сверхзвуковой области  $M < 3$  и может проявлять неустойчивость при дальнейшем возрастании числа Маха. Это определило интерес к продолжению начатых в [1] исследований при сверхзвуковом диапазоне  $M = 2 \div 5$ , которым посвящена настоящая работа. Полученные данные для зависимостей критических чисел Рейнольдса от параметров течения представляют самостоятельный интерес. Кроме того, использованная в работе модель двухтемпературной газодинамики при отсутствии возбуждения колебательной моды переходит в модель совершенного газа, что позволяет провести сравнение полученных результатов с данными линейной теории устойчивости [4, 5].

## 1. Постановка задачи

### 1.1. Исходные уравнения

Задача устойчивости течения Куэтта колебательно-возбужденного двухатомного газа рассматривается в расчётной области  $\Omega$ , представляющей собой прямоугольный параллелепипед, грани которого параллельны координатным плоскостям декартовой системы  $(x_1, x_2, x_3)$ , а центр совпадает с началом координат. Непроницаемые пластины, вдоль которых направлено основное течение, перпендикулярны оси  $x_2$ .

Исходной математической моделью служит система уравнений двухтемпературной газовой динамики. В соответствии с физическими представлениями [6–8] эта система описывает течения колебательно-возбуждённого молекулярного газа, когда диссоциацией и возбуждением верхних колебательных уровней молекул, а также поправками на ангармонизм колебаний можно пренебречь.

Как характерные величины для обезразмеривания выбраны полуширина канала  $L$  по оси  $x_2$ , модуль скорости потока  $U_0$  на непроницаемых стенках канала, постоянные плотность  $\rho_0$  и температура  $T_0$  основного потока, время  $\tau_0 = L/U_0$  и давление  $p_0 = \rho_0 U_0^2$ .

В качестве невозмущённого потока рассматривается плоское течение Куэтта с линейным профилем скорости и однородным распределением плотности и температур

$$\mathbf{U}_s(x_2) = (x_2, 0, 0), \quad T_s(x_2) = T_{v,s}(x_2) = \rho_s(x_2) = 1, \quad p_s(x_2) = 1/(\gamma M^2),$$

где  $p_s$  — статическое давление, постоянное поперёк канала.

Представление мгновенных значений гидродинамических величин возмущённого течения в виде

$$\rho = 1 + \rho', \quad u_i = U_{s,i} + u'_i, \quad T = 1 + T', \quad T_v = 1 + T'_v, \quad p = 1/(\gamma M^2) + p'$$

позволяет получить [1] из системы уравнений двухтемпературной газовой динамики уравнения для возмущений  $\rho'$ ,  $u'_i$ ,  $p'$ ,  $T'$ ,  $T'_v$  основного течения без ограничения на их амплитуды:

$$\frac{\partial \rho'}{\partial t} + u_i \frac{\partial \rho'}{\partial x_i} + \rho \frac{\partial u'_i}{\partial x_i} = 0, \quad (1)$$

$$\rho \left( \frac{\partial u'_i}{\partial t} + u'_j \frac{\partial u'_i}{\partial x_j} + U_{s,j} \frac{\partial u'_i}{\partial x_j} + u'_j \frac{\partial U_{s,i}}{\partial x_j} \right) = - \frac{\partial p'}{\partial x_i} + \frac{1}{\text{Re}} \frac{\partial^2 u'_i}{\partial x_j^2} + \frac{1}{\text{Re}} \left( \alpha_1 + \frac{1}{3} \right) \frac{\partial^2 u'_j}{\partial x_i \partial x_j}, \quad (2)$$

$$\begin{aligned} \rho \left( \frac{\partial T'}{\partial t} + u'_j \frac{\partial T'}{\partial x_j} + U_{s,j} \frac{\partial T'}{\partial x_j} \right) + \gamma(\gamma - 1) M^2 p \frac{\partial u'_i}{\partial x_i} &= \frac{\gamma}{\text{Re Pr}} \frac{\partial^2 T'}{\partial x_i^2} + \frac{\gamma_v \rho (T'_v - T')}{\tau} + \\ &+ \frac{\gamma(\gamma - 1) M^2}{2 \text{Re}} \left[ \left( \frac{\partial u'_i}{\partial x_j} + \frac{\partial u'_j}{\partial x_i} \right)^2 + 2 \left( \frac{\partial U_{s,i}}{\partial x_j} + \frac{\partial U_{s,j}}{\partial x_i} \right) \left( \frac{\partial u'_i}{\partial x_j} + \frac{\partial u'_j}{\partial x_i} \right) + \right. \\ &\left. + \left( \frac{\partial U_{s,i}}{\partial x_j} + \frac{\partial U_{s,j}}{\partial x_i} \right)^2 + 2 \left( \alpha_1 - \frac{2}{3} \right) \left( \frac{\partial u'_i}{\partial x_i} \right)^2 \right], \quad (3) \end{aligned}$$

$$\gamma_v \rho \left( \frac{\partial T'_v}{\partial t} + u'_j \frac{\partial T'_v}{\partial x_j} + U_{s,j} \frac{\partial T'_v}{\partial x_j} \right) = \frac{20}{33} \frac{\gamma \gamma_v}{\text{Re Pr}} \frac{\partial^2 T'_v}{\partial x_i^2} - \frac{\gamma_v \rho (T'_v - T')}{\tau}, \quad (4)$$

$$\gamma M^2 p' = \rho T' + \rho', \quad i = 1, 2, 3, \quad j = 1, 2, 3. \quad (5)$$

Здесь  $\rho'$ ,  $u'_i$ ,  $p'$ ,  $T'$ ,  $T'_v$  — возмущения плотности и компонент вектора скорости, давления, статической и колебательной температуры газа соответственно. В (1)–(4) и далее по повторяющимся индексам подразумевается суммирование.

Параметры, входящие в уравнения (1)–(5), определяются следующим образом:  $\alpha_1$  — относительный коэффициент объёмной вязкости,  $\gamma_v$  — параметр, характеризующий степень неравновесности колебательной моды,  $\gamma$  — показатель адиабаты,  $\text{Re}$ ,  $M$ ,  $\text{Pr}$  — числа Рейнольдса, Маха и Прандтля несущего потока соответственно. Предполагается, что коэффициент  $\alpha_1$  и время  $\tau$  в системе (1)–(5) не зависят от статической и колебательной температуры потока и постоянны.

В качестве краевых условий в задаче устойчивости принималось, что при  $x_1 = \pm x_0/2$  и  $x_3 = \pm z_0/2$  возмущения гидродинамических переменных удовлетворяют периодическим граничным условиям, а на непроницаемых границах  $x_2 = \pm 1$  принимают нулевые значения. В расчётах размеры области  $\Omega$  по периодическим (однородным) координатам  $x_1$ ,  $x_3$  полагались равными длине волны возмущения по соответствующей координате:  $x_0 = 2\pi/\alpha$ ,  $z_0 = 2\pi/\delta$  ( $\alpha$ ,  $\delta$  — модули проекций волнового вектора возмущения  $\mathbf{k}$  на оси координат  $x_1$ ,  $x_3$ ).

## 1.2. Уравнение энергетического баланса возмущений

В работе [1] из системы (1)–(5) было выведено уравнение энергетического баланса, которое записывается следующим образом:

$$\frac{dE_t}{dt} \equiv \Phi = - \int_{\Omega} \left\{ (1 + \rho') u'_i u'_j \frac{\partial U_{s,i}}{\partial x_j} + \frac{\gamma_v}{\tau} (1 + \rho') (T'_v - T')^2 + \frac{\rho'}{\gamma M^2} \frac{\partial \rho' u'_i}{\partial x_i} + \right.$$

$$\begin{aligned}
& + \left( (\gamma - 1)(1 + T') - \frac{1}{\gamma M^2} \right) (1 + \rho') T' \frac{\partial u'_i}{\partial x_i} - \frac{\gamma(\gamma - 1)M^2 T'}{2\text{Re}} \left[ \left( \frac{\partial u'_i}{\partial x_j} + \frac{\partial u'_j}{\partial x_i} \right)^2 + \right. \\
& + 2 \left( \frac{\partial u'_i}{\partial x_j} + \frac{\partial u'_j}{\partial x_i} \right) \left( \frac{\partial U_{s,i}}{\partial x_j} + \frac{\partial U_{s,j}}{\partial x_i} \right) + \left( \frac{\partial U_{s,i}}{\partial x_j} + \frac{\partial U_{s,j}}{\partial x_i} \right)^2 + 2 \left( \alpha_1 - \frac{2}{3} \right) \left( \frac{\partial u'_i}{\partial x_i} \right)^2 \left. \right] + \\
& + \frac{1}{\text{Re}} \left[ \left( \frac{\partial u'_i}{\partial x_j} \right)^2 + \left( \alpha_1 + \frac{1}{3} \right) \left( \frac{\partial u'_i}{\partial x_i} \right)^2 + \frac{\gamma}{\text{Pr}} \left( \left( \frac{\partial T'}{\partial x_i} \right)^2 + \frac{20\gamma_v}{33} \left( \frac{\partial T'_v}{\partial x_i} \right)^2 \right) \right] d\Omega. \quad (6)
\end{aligned}$$

Квадратичная форма

$$E_t(t) = \frac{1}{2} \int_{\Omega} \left[ \rho (u_i'^2 + T'^2 + \gamma_v T_v'^2) + \frac{\rho'^2}{\gamma M^2} \right] d\Omega$$

определяет полную пульсационную энергию возмущений. В последней строке уравнения (6) содержится группа положительно определённых слагаемых, поэтому с уменьшением числа Рейнольдса, начиная с некоторого критического значения  $\text{Re}_{cr}$ , правая часть этого уравнения становится отрицательной. При этом  $dE_t/dt < 0$  и любые начальные возмущения затухают. Критическое число Рейнольдса  $\text{Re}_{cr}$  соответствует условию  $dE_t/dt = 0$  и вычисляется как минимум функционала в правой части энергетического уравнения.

Дальнейшее упрощение уравнения (6) состояло в пренебрежении корреляциями возмущений четвёртого порядка и в частичном разделении переменных под знаком интеграла [1, 8]. При этом зависимости возмущений скорости, плотности и температуры от периодической координаты  $x_3$  представлялись в виде

$$\begin{aligned}
u'_1 &= u''_1(x_1, x_2) \cos(\delta x_3), & u'_2 &= u''_2(x_1, x_2) \cos(\delta x_3), & u'_3 &= u''_3(x_1, x_2) \sin(\delta x_3), \\
\rho' &= \rho''(x_1, x_2) \cos(\delta x_3), & T' &= T''(x_1, x_2) \cos(\delta x_3), & T'_v &= T''_v(x_1, x_2) \cos(\delta x_3). \quad (7)
\end{aligned}$$

Подстановка (7) в уравнение (6) и интегрирование по переменной  $x_3$  в интервале  $[-\pi/\delta; \pi/\delta]$  приводят к энергетическому уравнению для функций от переменных  $x_1, x_2$

$$\begin{aligned}
\frac{dE''_t}{dt} \equiv \Phi'' &= - \int_S \left\{ u''_1 u''_2 + \frac{1}{\text{Re}} \left[ \left( \frac{\partial u''_1}{\partial x_1} \right)^2 + \left( \frac{\partial u''_1}{\partial x_2} \right)^2 + \left( \frac{\partial u''_2}{\partial x_1} \right)^2 + \left( \frac{\partial u''_2}{\partial x_2} \right)^2 + \left( \frac{\partial u''_3}{\partial x_1} \right)^2 + \right. \right. \\
& + \left. \left( \frac{\partial u''_3}{\partial x_2} \right)^2 + \delta^2 (u''_1{}^2 + u''_2{}^2 + u''_3{}^2) + \left( \alpha_1 + \frac{1}{3} \right) \left( \frac{\partial u''_1}{\partial x_1} + \frac{\partial u''_2}{\partial x_2} + \delta u''_3 \right)^2 + \frac{\gamma}{\text{Pr}} \left\{ \left( \frac{\partial T''}{\partial x_1} \right)^2 + \right. \right. \\
& + \left. \left( \frac{\partial T''}{\partial x_2} \right)^2 + \delta^2 T''^2 + \frac{20\gamma_v}{33} \left[ \left( \frac{\partial T''_v}{\partial x_1} \right)^2 + \left( \frac{\partial T''_v}{\partial x_2} \right)^2 + \delta^2 T''_v{}^2 \right] \right\} - 2\gamma(\gamma - 1)M^2 T'' \left( \frac{\partial u''_1}{\partial x_2} + \right. \\
& \left. \left. + \frac{\partial u''_2}{\partial x_1} \right) \right] + \frac{\gamma_v (T''_v - T'')^2}{\tau} + \left( \gamma - \frac{1 + \gamma M^2}{\gamma M^2} \right) T'' \left( \frac{\partial u''_1}{\partial x_1} + \frac{\partial u''_2}{\partial x_2} + \delta u''_3 \right) \left. \right\} dS.
\end{aligned}$$

В результате варьируемый функционал  $\Phi''$  в правой части становится квадратичным по функциям возмущений  $u''_i, T'', T''_v$  и их производным.

### 1.3. Спектральная задача

Из условия экстремума функционала  $\Phi''$  на множестве допустимых функций следуют уравнения Эйлера – Лагранжа, определяющие обобщённую дифференциальную задачу на собственные значения со спектральным параметром  $\text{Re}$ :

$$\begin{aligned} \Delta u_1'' + \left(\alpha_1 + \frac{1}{3}\right) \frac{\partial D}{\partial x_1} - \gamma(\gamma - 1)M^2 \frac{\partial T''}{\partial x_2} - \frac{\text{Re}}{2} \left[ u_2'' - \left(\gamma - \frac{1 + \gamma M^2}{\gamma M^2}\right) \frac{\partial T''}{\partial x_1} \right] &= 0, \\ \Delta u_2'' + \left(\alpha_1 + \frac{1}{3}\right) \frac{\partial D}{\partial x_2} - \gamma(\gamma - 1)M^2 \frac{\partial T''}{\partial x_1} - \frac{\text{Re}}{2} \left[ u_1'' - \left(\gamma - \frac{1 + \gamma M^2}{\gamma M^2}\right) \frac{\partial T''}{\partial x_2} \right] &= 0, \\ \Delta u_3'' - \delta \left(\alpha_1 + \frac{1}{3}\right) D - \frac{\text{Re}}{2} \left(\gamma - \frac{1 + \gamma M^2}{\gamma M^2}\right) \delta T'' &= 0, \\ \frac{\gamma}{\text{Pr}} \Delta T'' + \gamma(\gamma - 1)M^2 \left(\frac{\partial u_1''}{\partial x_2} + \frac{\partial u_2''}{\partial x_1}\right) - \frac{\text{Re}}{2} \left[ 2\gamma_v \frac{T'' - T_v''}{\tau} + \left(\gamma - \frac{1 + \gamma M^2}{\gamma M^2}\right) D \right] &= 0, \\ \frac{\gamma}{\text{Pr}} \Delta T_v'' - \frac{\text{Re}}{2} \frac{33(T_v'' - T'')}{10\tau} &= 0. \end{aligned} \quad (8)$$

Здесь

$$D = \frac{\partial u_1''}{\partial x_1} + \frac{\partial u_2''}{\partial x_2} + \delta u_3'', \quad \Delta = \frac{\partial^2}{\partial x_1^2} + \frac{\partial^2}{\partial x_2^2} - \delta^2.$$

Амплитудные функции  $u_i''$ ,  $\rho''$ ,  $T''$ ,  $T_v''$  при  $x_1 = \pm \pi/\alpha$  удовлетворяют периодическим граничным условиям, а на непроницаемых границах  $x_2 = \pm 1$  принимают нулевые значения.

Для периодических по координате  $x_1$  возмущений

$$\varphi''(x_1, x_2) = (u_1'', u_2'', u_3'', T'', T_v'') = \varphi(x_2) \exp(i\alpha x_1),$$

где  $\varphi = (u, v, w, \theta, \theta_v)$ ,  $\alpha$  – проекция вещественного волнового вектора на координатную ось  $x_1$ ,  $i$  – мнимая единица, спектральная задача (8) сводится к системе обыкновенных дифференциальных уравнений для амплитуд пульсаций  $u, v, w, \theta, \theta_v$ :

$$\begin{aligned} u'' + i\alpha \left(\alpha_1 + \frac{1}{3}\right) v' - \left[\alpha^2 \left(\alpha_1 + \frac{4}{3}\right) + \delta^2\right] u + i\alpha\delta \left(\alpha_1 + \frac{1}{3}\right) w - \gamma(\gamma - 1)M^2 \theta' &= \\ &= \frac{\text{Re}}{2} \left[ v + \left(1 - \gamma + \frac{1}{\gamma M^2}\right) i\alpha\theta \right], \\ \left(\alpha_1 + \frac{4}{3}\right) v'' + i\alpha \left(\alpha_1 + \frac{1}{3}\right) u' + \delta \left(\alpha_1 + \frac{1}{3}\right) w' - k^2 v - \gamma(\gamma - 1)M^2 i\alpha\theta &= \\ &= \frac{\text{Re}}{2} \left[ u + \left(1 - \gamma + \frac{1}{\gamma M^2}\right) \theta' \right], \\ w'' - \delta \left(\alpha_1 + \frac{1}{3}\right) v' - i\alpha\delta \left(\alpha_1 + \frac{1}{3}\right) u - \left[\delta^2 \left(\alpha_1 + \frac{4}{3}\right) + \beta^2\right] w &= \\ &= -\frac{\text{Re}}{2} \left(1 - \gamma + \frac{1}{\gamma M^2}\right) \delta\theta, \end{aligned}$$

$$\begin{aligned}
& \frac{\gamma}{\text{Pr}} (\theta'' - k^2\theta) + \gamma(\gamma - 1)M^2 (u' + i\alpha v) = \\
& = \frac{\text{Re}}{2} \left[ \frac{2\gamma v}{\tau} (\theta - \theta_v) - \left( 1 - \gamma + \frac{1}{\gamma M^2} \right) (v' + i\alpha u + \delta w) \right], \\
& \frac{\gamma}{\text{Pr}} (\theta_v'' - k^2\theta_v) = -\frac{\text{Re}}{2} \frac{33(\theta - \theta_v)}{10\tau}, \quad k^2 = \alpha^2 + \delta^2.
\end{aligned} \tag{9}$$

Здесь и далее штрихи у неизвестных функций означают их производные соответствующего порядка по переменной  $x_2$ . Задача (9) замыкается граничными условиями

$$u|_{x_2=\pm 1} = v|_{x_2=\pm 1} = w|_{x_2=\pm 1} = \theta|_{x_2=\pm 1} = \theta_v|_{x_2=\pm 1} = 0. \tag{10}$$

Как было показано в [1], спектральная задача (9), (10) имеет вещественный спектр собственных значений  $\text{Re}(\alpha, \delta)$ , симметричный относительно осей  $\alpha = 0$ ,  $\delta = 0$  на плоскости волновых чисел  $(\alpha, \delta)$ . Кроме того, путём сведения системы (9) к спектральному пучку третьего порядка обыкновенных дифференциальных операторов для функции  $\vartheta = \theta - \theta_v$  в длинноволновом приближении была получена асимптотическая формула для зависимости критического числа Рейнольдса от параметров задачи

$$\text{Re}_{cr} = \pi^2 \left( \frac{a_0}{\tau^3} + \frac{b_0}{\tau M_0^4 (\alpha_1 + 4/3)} \right)^{-1/3}, \tag{11}$$

где  $a_0, b_0$  — некоторые положительные постоянные порядка  $O(1)$ .

## 2. Численный метод

Для произвольных значений волновых чисел  $\alpha, \delta$  (длин волн возмущений) спектральная задача (9), (10) решалась численно с помощью метода коллокаций [9], в основе которого лежит алгебраическое интерполирование искомого решения по некоторой чебышевской системе функций. В данном случае использовался инструментарий математического пакета Matlab, где в случае неперiodических функций применяется интерполяция полиномами Чебышева

$$T_k(x_2) = \cos(k \arccos x_2), \quad k = 0, 1, 2, \dots$$

Такой выбор обеспечивает экспоненциально быструю сходимость аппроксимирующего ряда для произвольных граничных условий, по крайней мере, в классе бесконечно дифференцируемых функций. На практике этим достигается высокая точность вычислений даже на грубых сетках.

В качестве узлов коллокации (интерполяции) выбирались точки Гаусса — Лобатто  $x_{2,n} = \cos(\pi n/N)$ ,  $n = 0, 1, \dots, N$ , в которых полином Чебышева  $N$ -й степени имеет экстремумы на отрезке  $[-1, 1]$ . Дифференциальные операторы первого порядка, входящие в спектральную задачу (9), (10), аппроксимируются на данной сетке матрицей коллокационных производных  $D_N^1$  размером  $(N+1) \times (N+1)$  [9]:

$$D_{N,lj}^1 = \begin{cases} (-1)^{l+j} s_l / [s_j (z_l - z_j)], & l \neq j, \\ -z_j / [2(1 - z_j^2)], & 1 \leq l = j \leq N-1, \\ (2N^2 + 1)/6, & l = j = 0, \\ -(2N^2 + 1)/6, & l = j = N, \end{cases} \quad s_j = \begin{cases} 2, & j = 0, N, \\ 1, & j = 1, 2, \dots, N-1. \end{cases}$$

При этом элементы  $l$ -й строки матрицы  $D_N^1$  являются коэффициентами разностной аппроксимации первой производной в  $l$ -м узле коллокации на шаблоне  $\{x_{2,n}\}$ . Дифференциальные операторы второго порядка аппроксимируются суперпозицией  $D_N^2 = D_N^1 D_N^1$ .

В терминах введённых аппроксимаций задача (9), (10) сводится к обобщённой задаче на собственные значения (линейному матричному пучку) относительно спектрального параметра  $\lambda = \text{Re}$ :

$$\sum_{j=0}^{5N+4} (G_{ij} - \lambda F_{ij}) q_j = 0, \quad i = 0, 1, \dots, 5N+4. \quad (12)$$

Здесь вектор неизвестных  $\mathbf{q}$  размером  $5(N+1)$  состоит из значений собственных функций в узлах коллокации:

$$\mathbf{q} = (u_0, u_1, \dots, u_N, v_0, v_1, \dots, v_N, w_0, w_1, \dots, w_N, \theta_0, \theta_1, \dots, \theta_N, \theta_{v,0}, \theta_{v,1}, \dots, \theta_{v,N}).$$

Матрицы  $G, F$  размером  $5(N+1) \times 5(N+1)$  вычисляются с использованием специальной процедуры Matlab по формулам

$$G = A \otimes D_N^2 + B_1 \otimes D_N^1 + C_1 \otimes I_N, \quad F = B_2 \otimes D_N^1 + C_2 \otimes I_N,$$

где матрицы  $A, B_1, C_1, B_2, C_2$  размером  $5 \times 5$  имеют вид

$$A = \begin{pmatrix} 1 & 0 & 0 & 0 & 0 \\ 0 & \alpha_1 + \frac{4}{3} & 0 & 0 & 0 \\ 0 & 0 & 1 & 0 & 0 \\ 0 & 0 & 0 & a & 0 \\ 0 & 0 & 0 & 0 & a \end{pmatrix}, \quad B_1 = \begin{pmatrix} 0 & i\alpha \left( \alpha_1 + \frac{1}{3} \right) & 0 & -b & 0 \\ i\alpha \left( \alpha_1 + \frac{1}{3} \right) & 0 & \delta \left( \alpha_1 + \frac{1}{3} \right) & 0 & 0 \\ 0 & -\delta \left( \alpha_1 + \frac{1}{3} \right) & 0 & 0 & 0 \\ b & 0 & 0 & 0 & 0 \\ 0 & 0 & 0 & 0 & 0 \end{pmatrix},$$

$$C_1 = \begin{pmatrix} -\left[ \alpha^2 \left( \alpha_1 + \frac{1}{3} \right) + k^2 \right] & 0 & i\alpha\delta \left( \alpha_1 + \frac{1}{3} \right) & 0 & 0 \\ 0 & -k^2 & 0 & -i\alpha b & 0 \\ -i\alpha\delta \left( \alpha_1 + \frac{1}{3} \right) & 0 & -\left[ \delta^2 \left( \alpha_1 + \frac{1}{3} \right) + k^2 \right] & 0 & 0 \\ 0 & i\alpha b & 0 & -ak^2 & 0 \\ 0 & 0 & 0 & 0 & -ak^2 \end{pmatrix},$$

$$B_2 = \begin{pmatrix} 0 & 0 & 0 & 0 & 0 \\ 0 & 0 & 0 & c/2 & 0 \\ 0 & 0 & 0 & 0 & 0 \\ 0 & -c/2 & 0 & 0 & 0 \\ 0 & 0 & 0 & 0 & 0 \end{pmatrix}, \quad C_2 = \begin{pmatrix} 0 & 1/2 & 0 & i\alpha c/2 & 0 \\ 1/2 & 0 & 0 & 0 & 0 \\ 0 & 0 & 0 & -\delta c/2 & 0 \\ -i\alpha c/2 & 0 & -\delta c/2 & \gamma_v/\tau & -\gamma_v/\tau \\ 0 & 0 & 0 & -33/(20\tau) & 33/(20\tau) \end{pmatrix},$$

$$a = \frac{\gamma}{\text{Pr}}, \quad b = \gamma(\gamma - 1) M^2, \quad c = 1 - \gamma + \frac{1}{\gamma M^2},$$

$I_N$  — единичная матрица размером  $(N + 1) \times (N + 1)$ , а знак  $\otimes$  означает прямое (тензорное) произведение матриц [10].

Однородные граничные условия (10) учитываются неявно через оператор  $D_N^l$  [9] и на дискретном уровне реализуются заменой матриц  $D_N^l$  ( $l = 1, 2$ ) на окаймлённые матрицы размером  $(N - 1) \times (N - 1)$ . Последние получаются при выполнении условий

$$D_{0,j}^l = D_{N,j}^l = 0, \quad D_{i,0}^l = D_{i,N}^l = 0, \quad i = 0, \dots, N, \quad j = 0, \dots, N, \quad l = 1, 2.$$

Для нахождения всех собственных значений и функций обобщённой спектральной задачи (12) использовалась процедура Matlab, реализующая QZ-алгоритм [11], который позволяет одновременным ортогональным преобразованием привести пару матриц  $G, F$  к обобщённой верхней треугольной форме. В результате применения данной процедуры для фиксированных значений числа Маха  $M$ , коэффициента  $\alpha_1$ , степени неравновесности колебательной энергии  $\gamma_v$ , времени колебательной релаксации  $\tau$  и каждой пары волновых чисел  $(\alpha, \delta)$  получался набор из  $(N + 1)$  собственных значений, среди которых находилось минимальное по модулю число Рейнольдса  $\text{Re}(\alpha, \delta) = |\lambda_{\min}(\alpha, \delta)|$ . Значение критического числа Рейнольдса  $\text{Re}_{cr}$  для данных  $M, \alpha_1, \gamma_v, \tau$  принималось равным минимальному значению  $\text{Re}$  во всем диапазоне волновых чисел  $\text{Re}(\alpha, \delta)$ :  $\text{Re}_{cr} = \min_{(\alpha, \delta)} [\text{Re}(\alpha, \delta)]$ . Затем вычислялись соответствующие  $\text{Re}_{cr}$  собственные функции  $u, v, w, \theta, \theta_v$ .

Расчёты спектров собственных значений  $\lambda(\alpha, \delta, M, \alpha_1, \gamma_v, \tau)$  проводились в диапазоне волновых чисел  $\alpha = 0 \div 10, \delta = 0 \div 10$  при следующих значениях параметров:  $\gamma_v = 0.111 \div 0.667, \tau = 1 \div 4, \alpha_1 = 0 \div 2, M = 2 \div 5, \text{Pr} = 3/4, \gamma = 7/5$ . Шаги изменения волновых чисел были выбраны равными  $h_\alpha = h_\delta = 0.1$ . В большинстве расчётов число узлов коллокации в интервале  $[-1, 1]$  принималось равным  $N + 1 = 50$ . Для проверки точности расчётов на основе симметрии спектра выполнялись расчёты в диапазоне волновых чисел  $\alpha = -10 \div 10, \delta = -10 \div 10$  и варьировалось число узлов коллокации:  $N + 1 = 32 \div 100$ .

### 3. Результаты расчётов и их обсуждение

Выполненные расчёты показали, что при всех рассмотренных значениях параметров задачи минимальные по модулю собственные значения  $\text{Re}(\alpha, \delta) = |\lambda_{\min}(\alpha, \delta)|$  достигаются на оси  $\alpha \neq 0$  при  $\delta = 0$  в плоскости волновых чисел  $(\alpha, \delta)$ . Изолинии  $\text{Re}(\alpha, \delta)$  приведены на рис. 1.

Как и в случае дозвуковых чисел Маха [1], наиболее “опасными” являются возмущения продольной моды. С учётом периодичности полученного решения по продольной координате  $x_1$  эти возмущения представляют собой пары двумерных вихрей, вращающихся в противоположных направлениях, с осями, перпендикулярными несущему потоку. Распределение завихренности вычисляется по формуле

$$\frac{\omega(x_1, x_2)}{\omega_0} = -\frac{1}{w_0} \left[ \left( \alpha v_i + \frac{du_r}{dx_2} \right) \cos \alpha x_1 - \left( \alpha v_r - \frac{du_i}{dx_2} \right) \sin \alpha x_1 \right].$$

Здесь  $u_r(x_2), u_i(x_2), v_r(x_2), v_i(x_2)$  — вещественные и мнимые части собственных функций  $u, v$ , а нормировочный множитель  $\omega_0$  представляет собой безразмерный поток за-



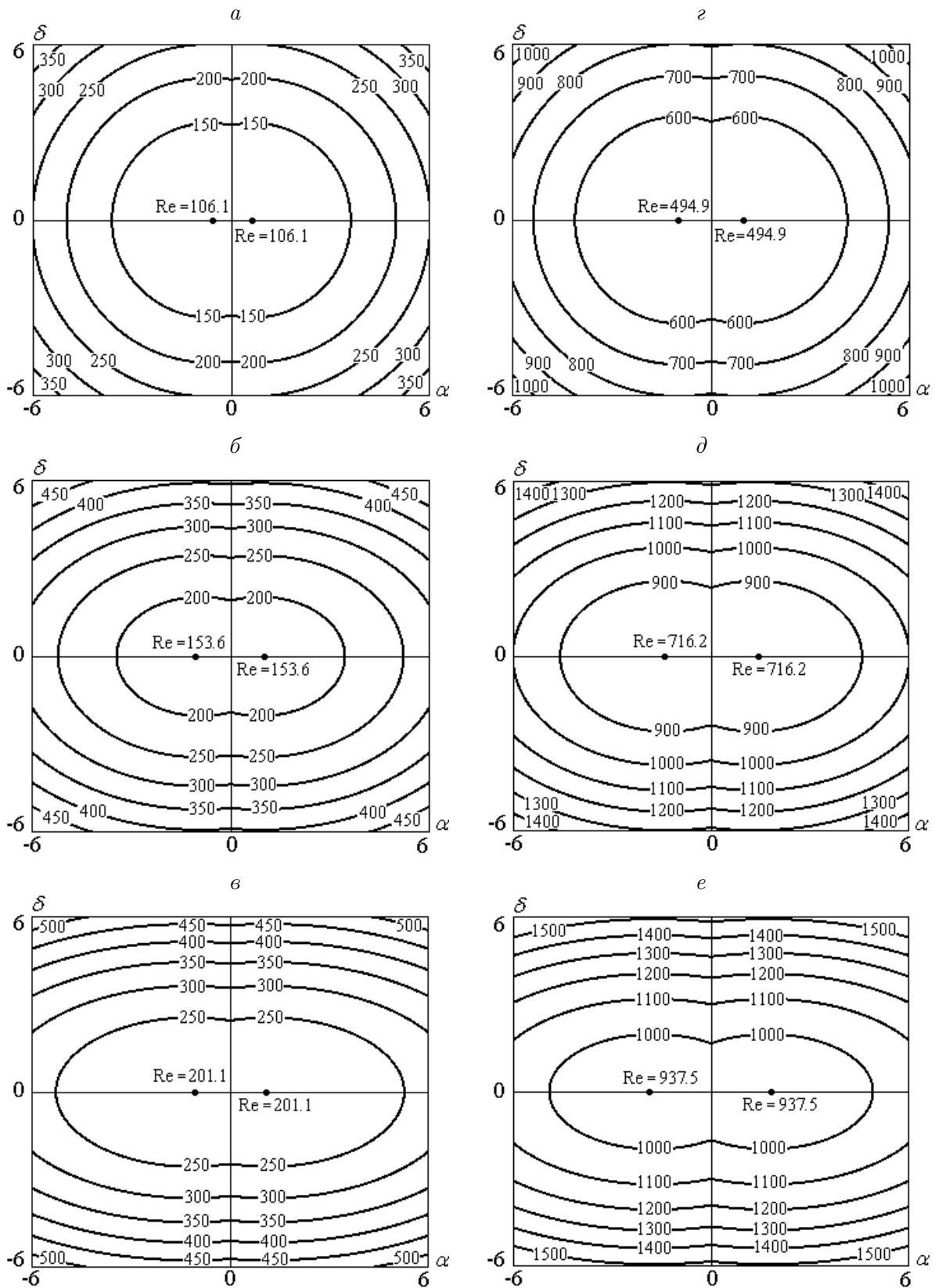


Рис. 1. Изолинии поверхностей  $Re(\alpha, \delta)$  для  $M = 3$  (*a*, *б*, *в*) и  $M = 5$  (*z*, *д*, *e*) при  $\alpha_1 = 0$ ,  $\tau = 2$  (*a*, *z* —  $\gamma_v = 0$ ; *б*, *д* —  $\gamma_v = 0.250$ ; *в*, *e* —  $\gamma_v = 0.667$ ; точки на линии  $\delta = 0$  фиксируют критические значения числа Рейнольдса для данного режима)

вихренности через расчётную область (циркуляцию вектора скорости по границе), вычисляемый по формуле

$$\omega_0 = \int_{-\pi/\alpha}^{\pi/\alpha} dx_1 \int_{-1}^1 dx_2 \omega(x_1, x_2).$$

На рис. 2 представлены примеры изолиний завихрённостей  $\omega(x_1, x_2)$  при различных критических числах Рейнольдса  $Re_{cr}(\alpha, \alpha_1, \gamma_v, \tau, M)$  и значениях амплитуд возмущений скорости, составляющих 10 % значения модуля скорости несущего потока на непроницаемых границах.

Зависимость числа Рейнольдса для продольных мод возмущений от волнового числа  $\alpha$  показана на рис. 3. Здесь штрихпунктирные линии соединяют значения абсолютных минимумов на параметризованных по  $\gamma_v$  и  $\tau$  кривых  $Re(\alpha)$ , что позволяет проследить эволюцию  $Re_{cr}$ . На рис. 4 приведена зависимость  $Re_{cr}$  от степени неравновесности  $\gamma_v$ . Рисунки 1, 3, 4 позволяют констатировать, что с возрастанием параметров  $\alpha_1, \gamma_v, \tau, M$  устойчивость течения (критическое число  $Re_{cr}$ ) также возрастает, а соответствующие значения волновых чисел  $\alpha$  сдвигаются в сторону более коротких волн. Сопоставление этих результатов с формулой (11) показывает, что длинноволновая асимптотика на качественном уровне правильно воспроизводит зависимость  $Re_{cr}$  от параметров течения в области волновых чисел  $\alpha \sim O(1)$ .

Критические значения числа Рейнольдса  $Re_{cr}(\alpha_1, \gamma_v, \tau, M)$  приведены в табл. 1, а соответствующие им значения волнового числа  $\alpha$  — в табл. 2. Из таблицы 1 следует, что максимальный диапазон изменения  $Re_{cr}$  при рассмотренных вариациях параметров задачи приближается к полутора порядкам, что существенно больше, чем было получено в [1] для дозвукового течения. Действительно, если при  $M \leq 1$  и тех же значениях других параметров режима, как и в настоящей работе, критические числа Рейнольдса находились в пределах  $Re_{cr} \simeq (1.5 \div 3.5) \cdot 10^1$ , то в данном случае соответствующие пределы составляют  $Re_{cr} \simeq 0.5 \cdot 10^2 \div 1.5 \cdot 10^3$ . Рассматривая степень влияния каждого параметра на  $Re_{cr}$  при фиксированных значениях остальных параметров, можно

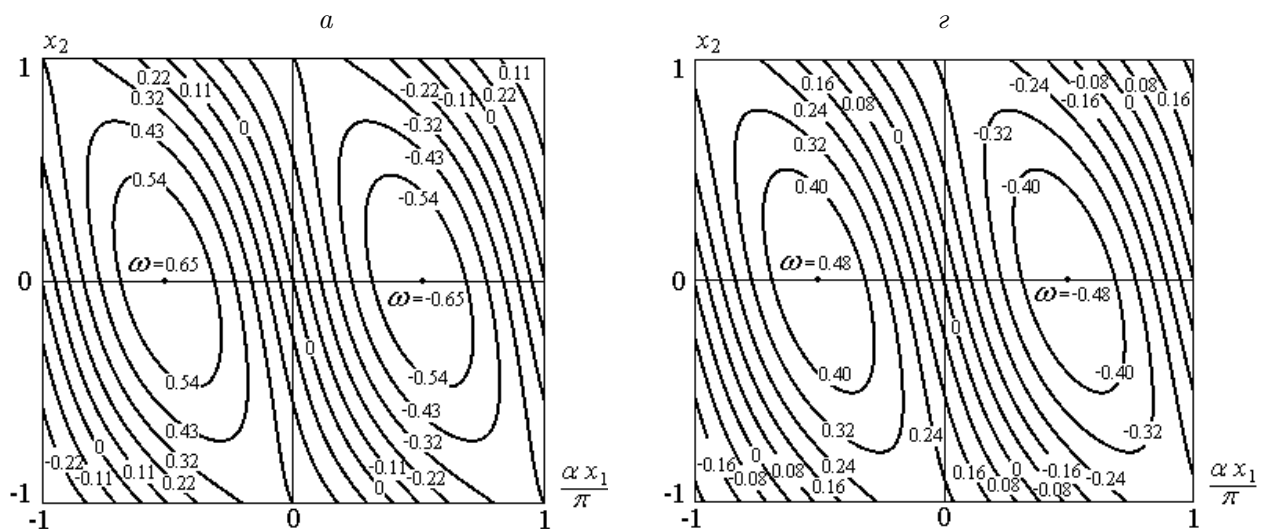


Рис. 2. Изолинии завихренности критических возмущений  $\omega(x_1, x_2)$  для  $M = 3, \alpha_1 = 0, \tau = 2$  ( $a - \gamma_v = 0, Re_{cr} = 106.1$ ;  $b - \gamma_v = 0.667, Re_{cr} = 201.1$ ; точки на линии  $x_2 = 0$  фиксируют максимальное и минимальное значения  $\omega$  для данного режима)

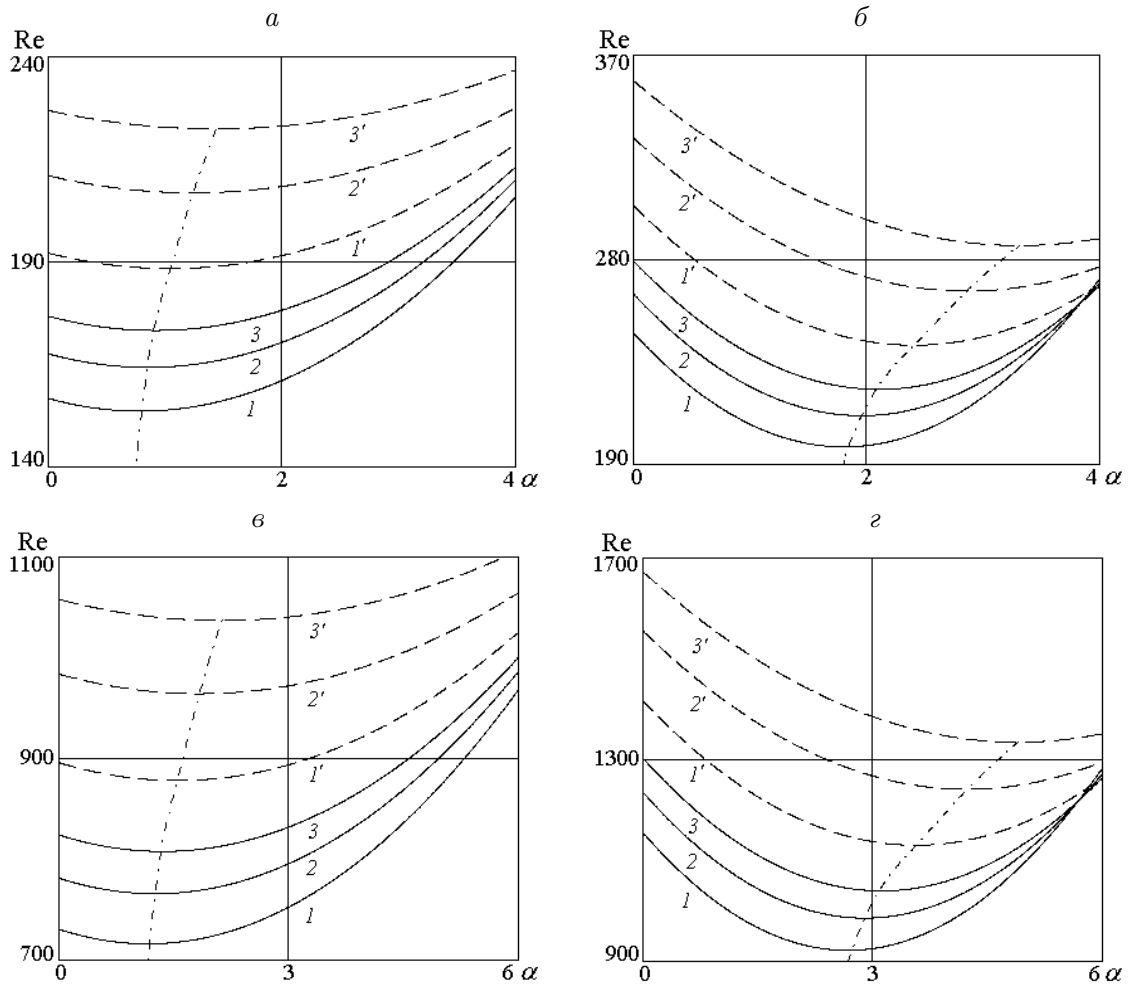


Рис. 3. Зависимость  $\text{Re}(\alpha)$  для продольных мод возмущений при числах Маха  $M = 3$  (а, б) и  $M = 5$  (в, г) (а, в —  $\alpha_1 = 0$ ; б, г —  $\alpha_1 = 2$ ; 1, 1' —  $\gamma_v = 0.250$ ; 2, 2' —  $\gamma_v = 0.429$ ; 3, 3' —  $\gamma_v = 0.667$ ; сплошные линии —  $\tau = 1$ , штриховые —  $\tau = 3$ , штрихпунктирные — зависимость критического числа Рейнольдса  $\text{Re}_{cr}$  от волнового числа  $\alpha$ )

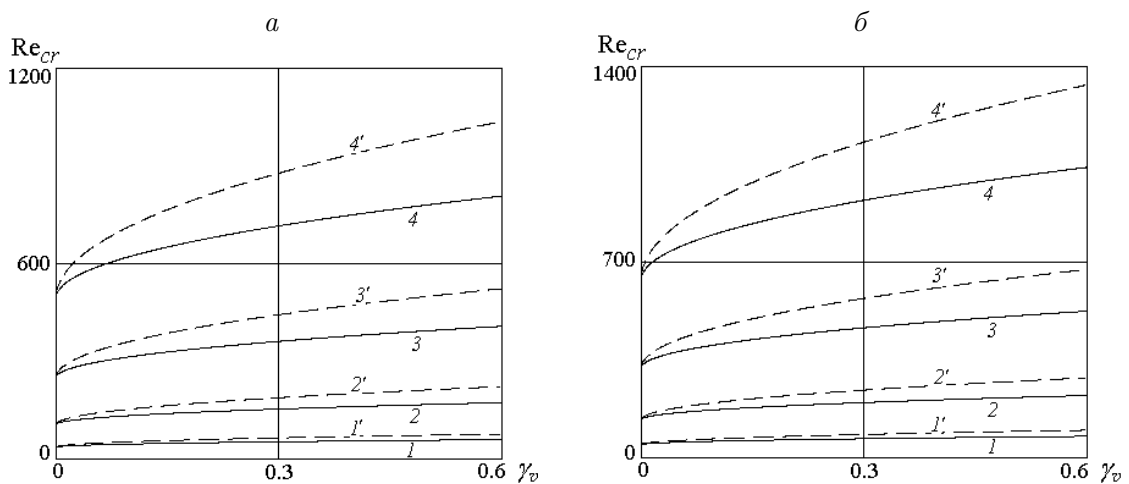


Рис. 4. Зависимость критического числа Рейнольдса  $\text{Re}_{cr}$  от степени неравновесности колебательной моды  $\gamma_v$  (а —  $\alpha_1 = 0$ ; б —  $\alpha_1 = 2$ ; 1, 1' —  $M = 2$ ; 2, 2' —  $M = 3$ ; 3, 3' —  $M = 4$ ; 4, 4' —  $M = 5$ ; сплошные линии —  $\tau = 1$ , штриховые —  $\tau = 3$ )

Т а б л и ц а 1. Критические значения числа Рейнольдса  $Re_{cr}(\alpha_1, \gamma_v, \tau, M)$ 

M	$\tau = 1$			$\tau = 4$		
	$\gamma_v = 0.111$	$\gamma_v = 0.250$	$\gamma_v = 0.667$	$\gamma_v = 0.111$	$\gamma_v = 0.250$	$\gamma_v = 0.667$
$\alpha_1 = 0$						
2	48.22	53.02	59.82	59.82	69.42	82.98
3	139.70	153.62	173.28	173.28	201.08	240.41
4	328.80	361.54	407.81	407.81	473.25	565.80
5	651.37	716.19	807.86	807.86	937.51	1120.85
$\alpha_1 = 2$						
2	62.07	68.25	76.99	76.99	89.34	106.81
3	179.83	197.72	223.03	223.03	258.82	309.44
4	423.22	465.34	524.90	524.90	609.14	728.26
5	838.40	921.84	1039.83	1039.83	1206.70	1442.69

Т а б л и ц а 2. Значения волнового числа  $\alpha$ , соответствующие критическим значениям числа Рейнольдса  $Re_{cr}(\alpha_1, \gamma_v, \tau, M)$ 

M	$\tau = 1$			$\tau = 4$		
	$\gamma_v = 0.111$	$\gamma_v = 0.250$	$\gamma_v = 0.667$	$\gamma_v = 0.111$	$\gamma_v = 0.250$	$\gamma_v = 0.667$
$\alpha_1 = 0$						
2	0.672	0.733	0.855	0.855	1.099	1.587
3	0.718	0.784	0.914	0.914	1.175	1.698
4	0.868	0.947	1.105	1.105	1.421	2.052
5	1,063	1,160	1.353	1.35319	1.739	2.513
$\alpha_1 = 2$						
2	1.548	1.689	1.970	1.970	2.533	3.658
3	1.656	1.806	2.107	2.107	2.709	3.913
4	2.001	2.183	2.547	2.547	3.275	4.731
5	2.450	2.673	3.118	3.119	4.009	5.791

заметить, что наибольшее воздействие на возрастание  $Re_{cr}$  оказывает рост числа Маха (сжимаемость). При этом в диапазоне  $M = 2 \div 5$  критическое число Рейнольдса увеличиваются более чем на порядок. В то же время при изменении числа Маха в дозвуковом диапазоне  $M = 0.2 \div 0.8$  возрастание  $Re_{cr}$  лежит в пределах 10 %. Вместе с тем степень влияния коэффициента возбуждения  $\gamma_v$  и времени релаксации  $\tau$ , определявших основное воздействие при  $M \leq 1$ , при переходе к сверхзвуковому режиму остаются на прежнем уровне. Тем не менее сделанный в [1] вывод о возможности управления потоком с помощью лазерного возбуждения колебательной моды остается в силе, так как в расчётных пределах изменения  $\gamma_v$  число  $Re_{cr}$  возрастает в этой работе приблизительно на 30 %.

В заключение отметим, что полученные значения  $Re_{cr}$  остаются более чем на порядок ниже критических чисел Рейнольдса, рассчитанных в рамках линейной теории устойчивости для совершенного газа [5]. Кроме того, имеется качественное различие в зависимостях  $Re_{cr}(M)$ . Если в рассмотренном случае  $Re_{cr}$  с ростом числа Маха в диапазоне  $M = 2 \div 5$  монотонно возрастает, то в рамках линейной теории  $Re_{cr}$  в этом диапазоне, наоборот, убывает.

## Список литературы

- [1] ГРИГОРЬЕВ Ю.Н., ЕРШОВ И.В. Критические числа Рейнольдса в течении Куэтта колебательно возбужденного двухатомного газа. Энергетический подход // ПМТФ. 2012. Т. 53, № 4. С. 57–73.
- [2] ГОЛЬДШТИК М.А., ШТЕРН В.Н. Гидродинамическая устойчивость и турбулентность. Новосибирск: Наука. Сиб. отд-ние, 1977.
- [3] DUCK P.W., ERLEBACHER G., HUSSAINI M.Y. On the linear stability of compressible plane Couette flow // J. Fluid Mech. 1994. Vol. 258. P 131–165.
- [4] HU S., ZHONG X. Linear stability of viscous supersonic plane Couette flow // Phys. Fluids. 1998. Vol. 10, No. 3. P. 709–729.
- [5] MALIK M., DEY J., ALAM M. Linear stability, transient energy growth, and the role of viscosity stratification in compressible plane Couette flow // Phys. Rev. E. 2008. Vol. 77, iss. 3. P. 036322(15).
- [6] ЖДАНОВ В.М., АЛИЕВСКИЙ М.Е. Процессы переноса и релаксации в молекулярных газах. М.: Наука, 1989.
- [7] НАГНИБЕДА Е.А., КУСТОВА Е.В. Кинетическая теория процессов переноса и релаксации в потоках неравновесных реагирующих газов. СПб.: Изд-во С.-Петербургского гос. ун-та, 2003.
- [8] ГРИГОРЬЕВ Ю.Н., ЕРШОВ И.В. Устойчивость течений релаксирующих молекулярных газов. Новосибирск: Изд-во СО РАН, 2012.
- [9] CANUTO C., HUSSAINI M.Y., QUARTERONI A., ZANG T.A. Spectral Methods in Fluid Dynamics. Springer Ser. in Comput. Phys. Berlin: Springer-Verlag, 1988.
- [10] КОРН Г., КОРН Т. Справочник по математике. М.: Наука, 1973.
- [11] MOLER C.B., STEWART G.W. An algorithm for generalized matrix eigenvalue problems // SIAM J. Numer. Anal. 1973. Vol. 10, No. 2. P. 241–256.

*Поступила в редакцию 30 октября 2013 г.*